

東京都立大学工学部 正員 安川 浩

1. 緒言

1) 管内振動流に於ける流体の運動、とりわけ層流から乱流への遷移、乱流時速度分布、乱れの構造等を明るくするには調圧水管の水面振動や、振動に伴う境界層等との関連上、多くの示唆を与えてくれるものと予想される。本論文では1)管内振動流の構造と自由振動の減衰率との相対に密接な関係を有する2)管内層流の複素角速度と層流時速度は無次元管径 $R = r_0 \sqrt{\frac{C}{\rho g}}$ により支配されるという前報¹⁾の結果を引き継ぎ、層流の遷移的限界、沿壁の粒状構造数 E の仮定に基く乱流時減衰率、及 V 連続管内自由振動の減衰率と運動量方程式の適用性を考察する。

2. (1) 简便解法: 方程式 テリア・ストークス 方程式

一様管路に於いて管軸の複素角速度を形成する場合には(1)簡便解法による運動方程式と(2)は直接解法による(2)簡便解法が近似出来る場合を考へる。一様断面と流れの軸方向平行性の仮定により軸方向式(1)テリア・ストークス 方程式は次式で表わす。

$$\frac{\partial U_x}{\partial t} = -g \frac{\partial}{\partial z} \left(\frac{P}{\rho g} + h \right) + \frac{1}{r} \frac{\partial}{\partial r} \left(r \frac{C}{S} \right) \quad \dots \dots \dots \quad (2.1)$$

内管半径 r_0 、管壁剪断应力 T_w 、マッサン速度 $U_{x0} = \sqrt{\frac{C}{\rho g}}$ は(1)簡便解法による運動方程式と(2)は直接解法による(2)簡便解法が近似出来る場合を考へる。一様断面と流れの軸方向平行性の仮定により軸方向式(1)テリア・ストークス 方程式は次式で表わす。

$$i\omega \frac{r_0}{V_{x0}^2} U_z = \frac{r_0 g}{V_{x0}^2} I + \frac{1}{r_*} \frac{\partial}{\partial r_*} (r_* C_r) \quad \dots \dots \dots \quad (2.2)$$

式(2.2)は(2.1)を記号で虚数単位を表して、重水勾配 $I = -\frac{2}{\delta z} \left(\frac{P}{\rho g} + h \right)$ 及 V マッサン速度 V_{x0} は r_* は無次元化して式(2.1)の式(1)変形 = (2.3)。 $z = (r_* - r_0) / r_0$ 、 $C_r = \frac{C}{r_*}$ を表す。

$$\frac{\partial^2}{\partial z^2} (\bar{C}_r) - \frac{1}{r_*^2} \frac{\partial^2}{\partial r_*^2} (\bar{C}_r) + \bar{C}_r = 0 \quad \dots \dots \dots \quad (2.3)$$

式(2.3)の一般解は第一種及第二種ベーセル函数で表される $\bar{C}_r = A_1 \bar{J}_1(z) + B_1 \bar{Y}_1(z)$ と表わす。又、管軸上 $z = T_w$ の有限性より $B_1 = 0$ 、 $\bar{C}_r = \frac{1}{2} \frac{\partial}{\partial z} \{ A_1 \bar{J}_1(z) \} = A_1 \bar{J}_0(z)$ と表される。式(2.2)は代入し管壁上 $z = U_z = 0$ の条件より $A_1 = -r_0 g I / \{ V_{x0}^2 X_0 J_0(X_0) \}$ が得られる。

又、改め流速 U_z 、剪断应力 T_w 、断面平均流速 V は次式で表わす。

$$U_z = -\frac{i g I}{\omega} \left\{ 1 - \frac{J_0(z)}{J_0(X_0)} \right\} \quad \dots \dots \dots \quad (2.4)$$

$$\frac{C}{S} = -\frac{r_0 g I}{X_0} \frac{J_1(z)}{J_0(X_0)} \quad \dots \dots \dots \quad (2.5)$$

$$V = -\frac{g I}{i \omega} \left\{ \frac{2}{X_0} \frac{J_1(X_0)}{J_0(X_0)} - 1 \right\} \quad \dots \dots \dots \quad (2.6)$$

自由減衰振動に於ける複素角速度 ω は未定であるが、一様管路の断面平均流速 V 及 $自由水面の$

上界速度と下界速度が存在するといふ。運動粘性係数 ν は層流に $\nu = 10^{-5}$ とす。また音速流に $c = 1$ とすれば $(2) \Leftrightarrow Hине (3)$ と参考 $\varepsilon = \alpha \hat{V}_p \cdot \delta$ と置く。 $\hat{V}_p = \hat{V}_p$ はマッハ速度 M_p の振幅を表す了。

3.1 U字管内の自由振動力による層流角準

実際の管内自由振動流に於ける圧力分布と不連続流に於けるものとの相似を取るため、運動粘性係数と管軸方向への一様性の仮定に基づきラプラス方程式を変形すると、 $\frac{\partial^2 \phi}{\partial z^2} = 0$ となる。自由水面からU字管直立部に至る場合、管軸方向への水面の変位を ξ と表すと、 $\xi = \xi(z)$ で $\frac{P}{\rho g} + h = h_0 - \xi$ 、 $\xi = (z - \xi) \cdot \frac{P}{\rho g} + h = h_0 + \xi$ の条件を満たす。圧力分布は次式で表される。

$$\frac{P}{\rho g} + h = h_0 + \left(\frac{2\xi}{l} - 1 \right) \xi - \frac{2}{l} \xi^2$$

又小数、非粘性U字管振動の角速度 ω は $\omega^2 = \frac{2g}{l}$ であることを考慮して、運動水分配工式、式(3.1)を解くこととする。即ち $\Omega = -\frac{\omega^2}{g} \cdot \xi$

自由運動を表す複素角速度 ω は、非粘性振動角速度 ω に対する無次元化した角速度 $\Omega = \frac{\omega}{\omega_r}$ で表される。即ち $V = i\omega \xi$ あり、次式を得る。

$$-\Omega^2 = \frac{2}{x_0} \cdot \frac{J_1(x_0)}{J_0(x_0)} - 1 = \frac{J_2(x_0)}{J_0(x_0)} \quad \dots \dots \dots \dots \dots \dots \quad (3.1)$$

$$x_0 = \sqrt{-i\Omega} \quad \tau = r_0 \sqrt{\frac{n}{\nu}} \quad \dots \dots \dots \dots \dots \dots \quad (3.2)$$

式(3.1)、(3.2)より Ω を消去し、解くべく方程式として次式を得る。

$$x_0^2 \frac{J_0(x_0)}{J_2(x_0)} = \tau^2 \quad \dots \dots \dots \dots \dots \dots \quad (3.3)$$

式(3.3)より x_0 、 τ の値を代入し解かせると式(3.2)より無次元角速度 Ω を小数

$\frac{\omega}{\omega_r} = \frac{\omega_r}{n} + i \frac{\omega_i}{n}$ である。減衰率 $= \text{Exp}(-\frac{2\pi\omega_i}{\omega_r})$ 、 $T = \frac{2\pi}{\omega_r}$ は減衰率 ΔV (初期計算値 = 1.3)。層流解の適用性は $\Delta V < 10$ 前報(4)にて述べた。

3.2 U字管内の振動流の層流からの遷移

管内振動流は於ける層流からの遷移は、特性速度及ぶ特徴長を適切に選ぶならば、それが層流レイノルズ数に対する限界値に達すと同時に遷移する。

振動場の層流遷移の遷移はBrebner(4)及びCollins(5)の結果を参考して、 $\delta = \sqrt{\frac{n}{\nu}}$ 、特性速度は

非粘性U字管振動力に於ける水面の上界速度の振幅 \hat{V}_p を選ぶならば、それが層流レイノルズ数に

達するときに、レイノルズ数と減衰率との関係を実験してより求めた $\Delta V = 10$ (2) - 1 である。同図にはより

実測の減衰率が層流解からのズレ始める点と求められる

は $(\sqrt{\frac{n}{\nu}})_c = 300$ である。

管内定常流に於ける

レイノルズ数に対する減衰率は $\Delta V = \frac{V_{max} \cdot 2\pi}{\nu}$ の近似 9800

と 32000 の範囲で遷移が生じるとしている。

$$\text{減衰率} = \frac{\Delta V}{\Delta V_c} / \frac{\Delta V}{\Delta V}$$

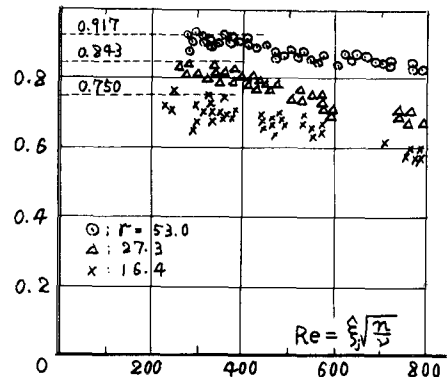


図1 層流解からのズレ

3.3 U字管の自由振動に於ける直角流角率

振動するU字管内直角流に於ける流動粘性係数 α と分布は(3.1)式で定義され、 $\alpha = \alpha \hat{V}_{yo} r_0$ と定義される。乱流運動境界層は(3.2)式で定義され、 $Hinze^{(3)} = 31.4 + 0.173$ と Laufner = 5.3 とU字管の常流は(3.3)式で定義され、 $\varepsilon = \alpha \hat{V}_{yo} r_0$ と表す事でU字管の一様分布と仮定される。この仮定は後述する、 ε と直角流速度と無次元径 \hat{r} に沿う二重の議論を導く事で出来た。層流解と異なり $\varepsilon = 3.12$ $X_0 = r_0 \sqrt{\frac{1.0}{\varepsilon}}$ と関係がある。 $\Omega^2 = \frac{X_0^4}{r_0^4} \alpha^2 \hat{R}_x^2$ 、 $\hat{R}_x = \frac{\hat{V}_{yo} r_0}{\nu}$ が得られる。ここで ν は分子のマッハ速度の振幅 \hat{V}_{yo} である式(3.4)より次式を導き得る。

$$\hat{V}_{yo}^2 = -\frac{r_0}{2} n^2 \xi (1 - \Omega^2), \quad \hat{V}_{yo}^2 = \frac{r_0}{2} n^2 \xi \cdot Amp (1 - \Omega^2) \quad \dots \quad (3.4)$$

式(3.4)の第一式と $-\Omega^2 = \frac{X_0^4}{r_0^4} \alpha^2 \hat{R}_x^2$ より Ω を消去し、式(3.4)の第二式より \hat{V}_{yo} を消去すれば、層流時の ε と \hat{r} で与えられた無次元管径 \hat{r} と同時に消去され、次式を得られる。

$$F(X_0) = X_0^4 \frac{J_0(X_0)}{J_2(X_0)} = \frac{2}{\alpha^2 \frac{\xi}{r_0} \cdot Amp (1 - \Omega^2)} \quad \dots \quad (3.5)$$

式(3.5)より $J_0(X_0) = 0$ と

根として X_0 を定めれば式(3.1)より Ω を定める。

X_0, Ω は式(3.5)～実験結果より得られ、直角流時のU字管の自由振動を規定する無次元複素角速度 Ω と、層流時の無次元管径 $\hat{r} = r_0 \sqrt{\frac{1.0}{\varepsilon}}$ により、無次元振幅 \hat{r}/r_0 と対応関係を有すと予想される。実験による半同期減衰率と無次元振幅 \hat{r}/r_0 との関係を図2に示すが、若干のバラツキと無次元振幅 \hat{r}/r_0 が16～53の範囲では無次元振幅 \hat{r}/r_0 が30より大きくなると直角流

の無次元直角流速度は達成すると結論出来る。しかし $\varepsilon = \alpha \hat{V}_{yo} r_0$ により定義された比例定数 α の値と実験の減衰率から逆算して $\alpha = (2.5 + 0.05 \hat{r}/r_0) \times 10^{-3}$ と得られる。無次元振幅 \hat{r}/r_0 が30より大きくなると直角流時の無次元複素角速度 Ω が計算される。

4.1 連絡管の自由振動への運動量方程式の適用

水面積 A_1, A_2 、大水槽断面積 a 、長さ l 、一様断面のU字管を連結すると、動水勾配工を得て自約の大水槽内の液体の運動量方程式を導いて了。

左の大水槽内の液体の管軸方向への運動量 M_1 、右側 M_2 とU字管軸方向への運動量変化 M を用いて、

$$\frac{\partial M_1}{\partial t} + \rho Q V = \rho g A_1 (H_1 - \xi_1) - p_1 A_1 \quad \dots \quad (4.1)$$

$$\frac{\partial M_2}{\partial t} + \rho Q (V_2 - V) = -\rho g A_2 (H_2 + \xi_2) + p_2 A_2 \quad \dots \quad (4.2)$$

$$\therefore M_1 = \rho (H_1 - \xi_1) A_1 V_1, \quad M_2 = \rho (H_2 + \xi_2) A_2 V_2, \quad A_1 \xi_1 = A_2 \xi_2 = a \xi, \quad V = i \omega \xi.$$

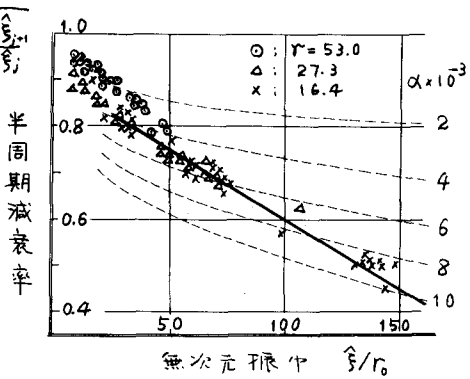


図2 無次元振幅と半同期減衰率

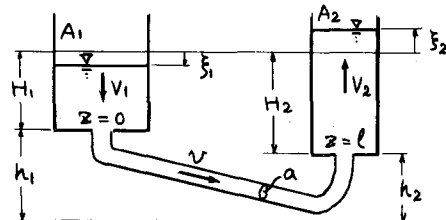


図3 連絡管略図

式(4.1), (4.2) の両式より連続管面積の圧力差 ($P_1 - P_2$) の計算式を求める。 $H_1 + h_1 = H_2 + h_2 = h_0$
 又 $n^2 = \frac{g}{\ell} \left(\frac{A_1}{A_2} + \frac{A_2}{A_1} \right)$ を考慮すれば、動水勾配 $I = -\frac{g}{\ell} \left(\frac{P_1}{P_2} + h \right)$ は次式で表わされる。

$$I = -\frac{n^2}{g} \cdot \xi \left\{ 1 - \left(\frac{H_1}{\ell} \frac{A_1}{A_2} + \frac{H_2}{\ell} \frac{A_2}{A_1} \right) \Omega^2 \right\} + \frac{n^2 \Omega^2}{g \ell} \xi^2 \left(\frac{A_1}{A_2} - \frac{A_2}{A_1} \right) \left\{ 1 - 3 \left(\frac{A_1}{A_2} + \frac{A_2}{A_1} \right) \right\} \quad \dots \quad (4.3)$$

式(4.3)の右辺第一項及び第二項の大小の関係を省略すると、 $\hat{\Omega} \neq 1$ の場合

$$\xi = \frac{\text{第二項}}{\text{第一項}} = \frac{\frac{A_1}{A_2} - \frac{A_2}{A_1}}{\ell}$$

を代入 1). $\frac{n^2}{g} \ell \ll 1$, 2). $A_1, A_2 \gg \ell$, といふ場合には式(4.3)の右辺第一項は無視できる。そのとき無次元パラメタ $\lambda = \left(\frac{H_1}{\ell} \frac{A_1}{A_2} + \frac{H_2}{\ell} \frac{A_2}{A_1} \right)$ を定義すれば、たとえ動水勾配 I は式(4.4)で表わされ、U字管は(4.3)の該式へ置き替える。但し $I = 1$ の無次元複素角速度 Ω が計算される。

$$I = -\frac{n^2}{g} \cdot \xi (1 - \lambda \Omega^2) \quad \dots \dots \dots \quad (4.4)$$

4.2 連続管の自由振動方程式と複素角速度

連続管: 斜行流流速は(4.1)と同様(4.4)と(2.6)に代入し、 $V = \lambda \omega \xi$ の関係より、 $\lambda = \gamma \sqrt{-\lambda \Omega}$ から得られる。式(4.4)を消去すると式(4.5)を得られる。

$$\lambda_0^4 \left\{ \frac{J_0(\lambda_0)}{J_2(\lambda_0)} - \lambda \right\} = \gamma^2 \quad \dots \dots \dots \quad (4.5)$$

一方斜行流流速は(4.1)と同様(4.5)より式(4.5)に替り次式を得られる。

$$\lambda_0^4 \left\{ \frac{J_0(\lambda_0)}{J_2(\lambda_0)} - \lambda \right\} = \frac{2}{\alpha^2 \frac{\xi}{\ell_0} \cdot \text{Amp} \left\{ 1 - (1 + \lambda) \Omega^2 \right\}} \quad (4.6)$$

5. 結 言

一様管内の自由振動現象と未定の複素角速度 Ω と有する周期運動と仮定 1. 運動方程式を得る。連続条件等から ω を決定する。U字管: (4.1)と斜行流流速: $\xi = \alpha \hat{V}_0 \sin \theta$ の仮定により、実測上の減衰特性とよく説明し得る理論的結論を導くことが出来た。10. 2. 3. 4. 5. より厳密な U字管の及U字管の構造は(4.1)と本解法で一致する。また連続管の(4.1)と運動方程式(4.5)と動水勾配の妥当性及U字管の存在による斜行流構造への影響等、多くの問題を残すが今後の課題とする。尚、式(4.5)の複数の実験資料との結論は併せて scale effect と(6)題の実際の調査水槽の水理計算法等について、電力中央研究所、干杯信一、是枝忠一、高橋利一、黄富吉郎等による報告書を参考して記載する。

参 考 文 献

- (1) 安川、田川 "粘性振動の減衰性に関する研究" 土木学会第26回年次学術講演会講演集
- (2) 植瀬欣一郎 "波に伴う水底摩擦構造" 第2回" 海洋地盤研究報告 Vol. 26, 1968
- (3) Hinze "Turbulence" McGraw Hill, 1959
- (4) Huon Li "Stability of Oscillatory Laminar Flow along a Wall" Beach E. Brd., Tech. Memo. No. 75, 1955
- (5) Brebner "The Effect of Roughness of the Mass Transport of Progressive Gravity Waves" Proc. 10th Conf. on Coastal Eng., 1966.